# CENTRO UNIVERSITARIO ASSIS GURGACZ LUCAS VINICIUS SCHERER

PROJETO DE UM SISTEMA HIDRÁULICO PARA UMA PRENSA DA INDÚSTRIA METALMECÂNICA

# CENTRO UNIVERSITARIO ASSIS GURGACZ LUCAS VINICIUS SCHERER

# PROJETO DE UM SISTEMA HIDRÁULICO PARA UMA PRENSA DA INDÚSTRIA METALMECÂNICA

Trabalho apresentado à disciplina TCC – Projeto como requisito parcial para obtenção da aprovação semestral no Curso de Engenharia Mecânica pelo Centro Universitário Assis Gurgacz.

**Professor(a) Orientador(a):** Eng. Mecânico Carlos Eduardo Goulart Ferreira

# CENTRO UNIVERSITARIO ASSIS GURGACZ LUCAS VINICIUS SCHERER

# PROJETO DE UM SISTEMA HIDRÁULICO PARA UMA PRENSA DA INDÚSTRIA METALMECÂNICA

Trabalho apresentado à disciplina de Trabalho de Conclusão de Curso como requisito parcial para obtenção de aprovação semestral no Curso de Engenharia Mecânica do Centro Universitário Assis Gurgacz

# BANCA EXAMINADORA

Orientador Prof. Eng. Carlos Eduardo Goulart Ferreira

Centro Universitário Assis Gurgacz

Engenheiro Mecânico

Prof. Eng. Me. Eliseu Avelino Zanella Junior Centro Universitário Assis Gurgacz

Engenheiro Meçânico

Prof. Eng. José Cláudio Terra Silveira Centro Universitário Assis Gurgacz Engenheiro Mecânico

Cascavel, 2018



#### **AGRADECIMENTOS**

A minha família onde me deram as condições necessárias e motivações para concluir mais um objetivo na minha vida.

A minha namorada, Giovana Kist Bomfanti, que sempre esteve ao meu lado nos momentos mais importantes, sempre motivando e auxiliando quando necessário.

Ao Prof. Carlos Eduardo Goulart Ferreira, na qual auxiliou na execução deste trabalho, sempre orientando da melhor forma possível e com muita paciência.

Aos meus colegas de profissão, na qual transmitiram sempre que possíveis todos os conhecimentos acerca do assunto.

Por fim aos meus amigos, que sempre motivaram e se fizeram presentes nas conquistas e dificuldades na qual passei.

#### **RESUMO**

Este trabalho visa apresentar o projeto hidráulico referente a uma prensa que será utilizada para solucionar um problema de fabricação na telha dos silos armazenadores de grão, onde hoje a empresa realiza as furações manualmente, elevando o tempo de fabricação e os custos. Esta indústria Metalmecânica está localizada no oeste do Paraná. O silo metálico para armazenamento de grãos necessita ser aerado constantemente a fim de manter a qualidade do grão estocado. Esta aeração do grão acontece do sentido do piso para o teto, saindo o ar quente através dos respiros na telha do teto. Para a fixação dos respiros é necessário realizar alguns processos de fabricação na telha, sendo elas uma área recortada para passagem ar quente, furos menores para fixação do respiro e uma aba voltada para cima para evitar que entre água no silo. O projeto é uma melhoria do processo já existente, exigindo mão de obra excedente para outras atividades e melhoria estética do produto final.

A prensa hidráulica tem o objetivo de diminuir os custos operacionais da empresa, otimizar o tempo fabril. Os encaminhamentos metodológicos baseiam-se em uma metodologia bibliográfica com ênfase em autores como Fialho, apostilas de fornecedores como Parker, livros sobre estampagem Kiminami.

Palavras-chave: Silo armazenador, Prensa hidráulica, Processo de fabricação.

#### **ABSTRACT**

This paper aims to present the hydraulic design for a press that will be used to solve a problem of fabrication in the silo storage tanks grain, where today the company performs the drilling manually, increasing the time of manufacture and costs. This metalworking industry is located in the west of Paraná. The metal silo for grain storage needs to be constantly aerated in order to maintain the quality of the grain stored. This grain aeration happens from the direction of the floor to the ceiling, leaving the warm air through the vents on the ceiling tile. For the fixing of the vents it is necessary to perform some manufacturing processes in the tile, being a cut out area for hot air passage, smaller holes for fixing the breather and a flap facing up to prevent water from entering the silo. The project is an improvement of the existing process, requiring surplus labor for other activities and aesthetic improvement of the final product. The hydraulic press has the objective of reducing the company's operating costs, optimizing the manufacturing time. The methodological guidelines are based on a bibliographical methodology with emphasis on authors such as Fialho, handouts from vendors such as Parker, books about stamping by Kiminami.

Keywords: Storage silo, hydraulic press, Manufacturing process.

# LISTA DE FIGURAS

FIGURA 1 - PRINCÍPIO BÁSICO HIDRÁULICA	19
FIGURA 2 - DIAGRAMA PONTOS DA TUBULAÇÃO	23
FIGURA 3 – SIMULAÇÃO SISTEMA RECUADO	34
FIGURA 4 – SIMULAÇÃO SISTEMA AVANCADO	35

# LISTA DE TABELAS

TABELA 1 - CLASSIFICAÇÃO DE ACORDO COM PRESSÃO	20
TABELA 2 - VELOCIDADES MÁXIMAS RECOMENDADAS	23
TABELA 3 – LISTA DE MATERIAL	33

# LISTA DE EQUAÇÕES

EQUAÇÃO 1 – ESFORÇO PARA CORTE	19
EQUAÇÃO 2 – PERÍMETRO CIRCULO	20
EQUAÇÃO 3 – PRESSÃO DE TRABALHO	20
EQUAÇÃO 4 – VAZÃO BOMBA	21
EQUAÇÃO 5 – VAZÃO BOMBA	21
EQUAÇÃO 6 – VELOCIDADE DE AVANÇO	21
EQUAÇÃO 7 – TEMPO TOTAL AVANÇO	21
EQUAÇÃO 8 – POTÊCIA MOTOR ELÉTRICO	22
EQUAÇÃO 9 – VAZÃO INDUZIDA DE AVANÇO	22
EQUAÇÃO 10 - VAZÃO INDUZIDA DE RETORNO	22
EQUAÇÃO 11 – DIÂMETRO TUBULAÇÃO	23
EQUAÇÃO 12 – VOLUME RESERVATÓRIO	24
EQUAÇÃO 13 – TEMPO TOTAL RETORNO	24
EQUAÇÃO 14 – VELOCIDADE DE RETORNO	24

# **SUMÁRIO**

1.	INTRODUÇÃO	13
1.1	ASSUNTO / TEMA	14
1.2	JUSTIFICATIVA	14
1.3	FORMULAÇÃO DO PROBLEMA	14
1.4	FORMULAÇÃO DAS HIPÓTESES	14
	OBJETIVOS DA PESQUISA	
	.5.1 OBJETIVO GERAL	
1	.5.2 OBJETIVOS ESPECÍFICOS	15
2.	FUNDAMENTAÇÃO TEÓRICA	16
2.1	INDÚSTRIA METALMECÂNICA	16
2.2	PROCESSO DE FABRICAÇÃO	16
	SISTEMA HIDRÁULICO	
3.	METODOLOGIA	
	3.1 MÉTODOS	
	3.2 MATERIAIS	25
4.	RESULTADO E DISCUSSÃO	26
	4.1 CÁLCULO DO PERIMETRO E FORÇA PARA CORTE	26
	4.2 CÁLCULO DA PRESSÃO DE SERVIÇO E DIÂMETRO DO CILINDRO	27
	4.3 CÁLCULO DA VAZÃO DA BOMBA	
	4.4 CÁLCULO DA POTÊNCIA DO MOTOR	
	4.5 SELEÇÃO BOMBA	
	4.6 CÁLCULO DA VELOCIDADE DE AVANÇO	
	4.7 CÁLCULO DO RESERVATÓRIO DE ÓLEO	
	4.8 CÁLCULO DO TEMPO DE CICLO4.9 CÁLCULO DA VAZÃO INDUZIDA DE AVANÇO E RETORNO	29 20
	4.10 CÁLCULO DO DIÂMETRO DA TUBULAÇÃO4.10 CÁLCULO DO DIÂMETRO DA TUBULAÇÃO	30 21
	4.11 MANÔMETRO4.11 MANÔMETRO DA TUBULAÇÃO	31
	4.12 LISTA DE MATERIAL	
	4.13 ESQUEMA HIDRÁULICO	34
5.	CONSIDERAÇÕES FINAIS	36
6.	SUGESTÃO PARA TRABALHOS FUTUROS	
RF	EFERÊNCIAS	
	NEXO A – PROJETO TELHA SILO	
	NEXO B – PERÍMETRO E FUROS	
	NEXO C – CATALOGO MOTORES WEG	
	JEXO D – CATALOGO MOTORES WEG	
AN	NEXO D = RESERVATORIOS PARKER	43

ANEXO E – BOMBA HIDRÁULICA VISTA HYDRAULICS	44
ANEXO F – DIÂMETRO ATUADOR	45
ANEXO G – DIÂMETRO HASTE	46
ANEXO H – DIÂMETRO TUBOS	
ANEXO I – MANÔMETRO	
ANEXO J – TENSÕES DO AÇO	
ANEAU J - LENOUES DU AÇU	

# 1. INTRODUÇÃO

Com a grande produção de grãos no Brasil, cerca de 238,7 milhões de toneladas na safra de 2016/2017, segundo a Companhia Nacional de Abastecimento, a capacidade de estocagem no Brasil em 2016/2017 era de cerca de 168 milhões de toneladas, segundo o Instituto Brasileiro de Geografia e Estatística. Surgiu então a necessidade de construções ou ampliações de unidades armazenadoras do Brasil.

A vantagem da estocagem de grão, é poder escolher quando vendê-lo, aproveitando as altas dos preços em determinadas épocas do ano. Para manter a qualidade do produto estocado, é necessário mantê-lo aerado dentro do silo, ou seja, é necessário insuflar ar dentro do silo para diminuir as altas temperaturas. O ar passa no sentido do piso para o teto, retirando parte de calor do grão. No teto do silo armazenador existem respiros para o ar quente conseguir sair.

A indústria metalmecânica voltada para o agronegócio vem se atualizando a todo momento para melhor atender seus clientes. As indústrias vêm investindo na melhoria de seus equipamentos, afim de melhorar sua fabricação, aumentando a produção e diminuindo os custos. A principal força das empresas agropecuárias brasileiras é o custo de produção mais baixo em relação aos concorrentes estrangeiros, em razão do clima favorável, da ampla disponibilidade de terras cultiváveis e da existência de instituições de pesquisa agropecuárias renomadas, como a Empresa Brasileira de Pesquisa Agropecuária (Embrapa). (BNDES, 2014, p. 24)

As prensas hidráulicas são umas das opções investidas nas empresas, pois além de melhorar o aspecto visual da peça, ajuda nos custos finais do produto. Este equipamento é usado para conformação e cisalhamento do metal, auxiliando no processo de fabricação. O metal entra em um dos lados da prensa, é conformado e após o processo sai com a forma desejada. Para realização deste processo é necessária apenas de um operador na máquina. A falta desse equipamento aumenta muito os custos com a mão de obra, horas gastas indevidamente e no aspecto visual do produto.

Este trabalho traz à tona o questionamento sobre o dimensionamento para suscitar o interesse dos futuros engenheiros para o melhor aproveitamento do equipamento, melhorando nos custos e no aspecto visual final da peça.

#### 1.1 ASSUNTO / TEMA

O Assunto do referido trabalho é sobre sistemas hidráulicos.

O tema abordará o dimensionamento de uma prensa hidráulica visando melhorar o processo de fabricação da telha do silo metálico armazenador.

#### 1.2 JUSTIFICATIVA

No processo de fabricação de uma indústria Metalmecânica, identificou-se que os custos operacionais e atrasos em suas produções estavam demasiadamente elevados. As telhas dos silos armazenadores necessitam de furos especiais para fixação dos respiros, mas todas as telhas possuem os mesmos furos. Esses furos são realizados manualmente por colaboradores desta indústria. Pela demanda, o aspecto visual do produto, não era bom. Desta forma fez-se necessário uma atualização no processo fabril, para que a demanda e os custos diminuem e sua renda seja maximizada.

#### 1.3 FORMULAÇÃO DO PROBLEMA

Como melhorar o processo de fabricação metalmecânica aplicando sistemas hidráulicos?

#### 1.4 FORMULAÇÃO DAS HIPÓTESES

H₀ – O custo para produção do equipamento poderá ser elevado.

H<sub>1</sub> – O processo de fabricação ficará mais rápido e melhor acabado, com a utilização da prensa hidráulica e reduzirá os custos com a mão de obra.

#### 1.5 OBJETIVOS DA PESQUISA

#### 1.5.1 Objetivo Geral

Projetar o sistema hidráulico de uma prensa para otimizar processo de fabricação.

# 1.5.2 Objetivos Específicos

Pesquisar o dimensionamento do sistema hidráulico para a prensa.

Calcular a força necessária do sistema.

Seleção dos principais componentes do sistema.

# 2. FUNDAMENTAÇÃO TEÓRICA

### 2.1 INDÚSTRIA METALMECÂNICA

Nenhuma substância foi tão importante como o metal na história do controle do homem de seu ambiente. Os avanços na agricultura, guerra, transporte até mesmo na culinária, são impossíveis sem metal. É a metalurgia que torna possível a existência de máquinas, equipamentos, veículos de transporte e bens de consumo. A metalomecânica envolve, ainda, a aplicação prática dos metais. Os processos da metalmecânica incluem usinagem, soldagem, deformação plástica e fundição. Engloba ainda o estudo das propriedades dos materiais utilizados, o seu projeto e seleção e ainda de fenômenos de resistência destes como a fadiga, a fluência ou o atrito, como pode-se ver no artigo processos de fabricação do aço.

Para (Freitas, 2017) em Industria Contemporânea no Brasil, o Brasil durante muito tempo ocupou destaque somente no setor primário (agricultura, pecuária, pesca e extrativismo mineral). Após consecutivas crises econômicas, atualmente o Brasil é considerado um dos mais industrializados países, por isso ocupa o décimo quinto lugar nesse segmento em escala global. A intensificação da indústria brasileira faz com que o país possua um enorme e variado parque industrial que produz desde bens de consumo à tecnologia de ponta. A região sul, segundo lugar em industrialização no país, desenvolve indústrias que atuam especialmente no beneficiamento de produtos primários, atividade denominada de agroindústria, que desempenha um importante papel na economia nacional, sobressai também na produção de peças e metalurgia.

Conforme (Souza, Luiz Gonzaga de), no dia a dia da economia industrial, a palavra indústria está caracterizada por diversos significados, desde uma empresa de pequeno porte, até uma fábrica de qualquer tamanho de um parque industrial, que trabalhe com atividade de transformação, que usem maquinarias que tenham como objetivo criar um terceiro produto.

# 2.2 PROCESSO DE FABRICAÇÃO

Segundo (Kiminami et al 2013), as fabricações de produtos metálicos são usados processos que visam dar forma, geometria, dimensões, acabamento superficial ao metal puro ou liga metálica com as especificações estabelecidas para o produto e também conferir a este

o conjunto de propriedades (resistência mecânica, dureza, resistência ao desgaste, resistência à corrosão, condutividade elétrica, densidade etc.) exigido para o seu bom desempenho.

A conformação plástica é um conjunto de processos de manufatura que usa a deformação plástica para mudar a forma do metal. A deformação é resultado do uso de uma ferramenta, geralmente uma matriz, que aplica tensões que excedem o limite de escoamento do metal. O metal, então, deforma e toma a forma determinada em parte ou quase totalmente pela geometria da matriz. As tensões aplicadas para deformar o metal podem ser compressivas, trativas, de dobramento ou de cisalhamento. Para ser conformado, o metal deve apresentar certas propriedades como baixa tensão de escoamento e alta ductilidade. (Kiminami et al 2013).

No processo da estampagem, como pode-se ver no catálogo da EAS chance systems, a chapa metálica é puncionada (ou cortada e moldada) usando uma prensa de estampagem para obter os componentes no formato e tamanho desejados. O processo de estampagem básico da chapa metálica tem três partes fundamentais nas quais a prensa é utilizada: a chapa metálica como material de produção, a prensa de estampagem e a matriz de estampagem. Devido ao calor gerado pela fricção durante o processo de fabricação, em geral, as peças estampadas ficam muito quentes quando saem das matrizes. A estampagem do metal é utilizada amplamente no processo de produção. Talvez essa seja uma das tecnologias mais importantes na indústria de produção.

### 2.3 SISTEMA HIDRÁULICO

Segundo (Fialho 2013), hidráulica é uma palavra que vem do grego, que é a junção de hydra = água e aulos = condução/aula/tubo. Assim dando a se entender que é uma parte da física que estuda o comportamento, leis que regem o transporte, conversão de energia, regulagem e o controle dos fluidos em movimento e em repouso, levando em consideração suas variações, sendo algumas delas: pressão, vazão, temperatura, viscosidade.

Os constantes avanços tecnológicos vêm sendo necessário a busca pelo aprimoramento nos processos de trabalho do homem e a da qualidade do produto. A hidráulica está presente em várias indústrias e vem crescendo cada vez mais pela possibilidade de automação do sistema, segundo apostila da Parker.

Ainda na apostila da Parker, podemos ver que existem várias vantagens dos sistemas hidráulicos, sendo algumas delas fácil instalação dos diversos elementos, rápida parada e inversão de movimento, variações micrométricas na velocidade, sistemas auto lubrificantes, alta potência (força), melhor condição de trabalho, melhor relação custo x benefício.

Segundo Palmieri (1997), a definição de força, pode ser descrita como qualquer causa capaz de realizar trabalho. Tendo como um exemplo, um corpo qualquer no qual para ser movimentado, devemos aplicar uma força sobre ele, por exemplo, puxar ou empurrar. Uma importante aplicação prática é o macaco hidráulico. Para um embolo de  $10\text{m}^2$  e outro de  $1\text{m}^2$ , uma força equivalente a 70 kg será suficiente para levantar um veículo que pese 700 kg, no outro embolo.

No óleo hidráulico, dizemos há uma determinada pressão parte do sistema hidráulico, quando ocorre a uma resistência ao fluxo de óleo que a bomba gera no sistema. A bomba não pode gerar a pressão e sim a vazão de óleo. O responsável por gerar a pressão no circuito, são as resistências que o óleo encontra durante sua trajetória. A pressão no sistema internacional é expressa em bar, porém é comum encontrar em kg/cm², psi, bárias ou atmosferas.

Segundo Stewart, Trabalho é definido como um "produto de força vezes deslocamento", tendo sua força na mesma direção do deslocamento, podendo ser um corpo movido verticalmente em uma distância ou deslocamento.

A energia é a capacidade de algo de realizar trabalho, ou seja, gerar uma força num determinado corpo, substancia ou sistema físico. De acordo com as leis da física, a energia não pode ser criada, mas apenas transformada, sendo cada um dos tipos de energia capaz de provocar fenômenos determinados e característicos nos sistemas físicos.

Fialho (2003) define vazão como sendo o volume de fluido que é descarregado pela bomba por unidade de tempo é responsável pela velocidade com que a carga se movimenta. A vazão pode ser determinada a partir do escoamento de um fluido através de determinada seção transversal de um conduto livre (canal, rio ou tubulação aberta) ou de um conduto forçado (tubulação com pressão positiva ou negativa). As unidades de medida adotadas são geralmente m³/s, m³/h, l/h ou o l/s.

Segundo Pascal "A pressão exercida em um ponto qualquer de um fluído confinado é a mesma em todas as direções e exerce forças iguais em áreas iguais". Com esse princípio, suas conclusões ficaram conhecidas como "Lei de Pascal", por exemplo, se aplicarmos uma

força em uma área em liquido confinada o resultado será uma pressão igual em todas as direções.

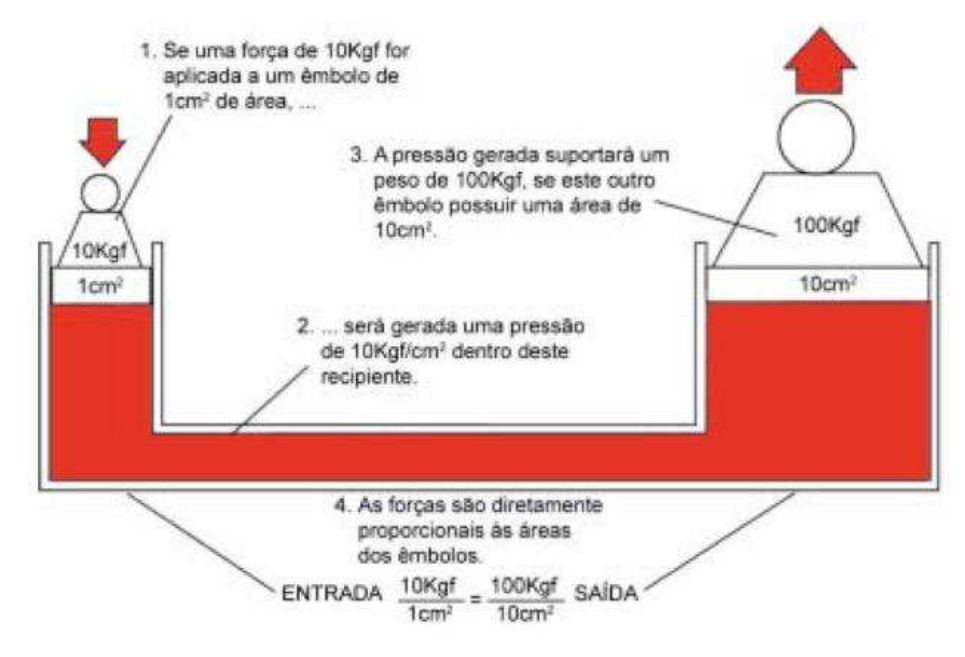


Figura 1: Princípio básico hidráulica

(Fonte: Apostila básica de hidráulica - SENAI-SP, 2008)

De acordo com Hibbeler (1999), o princípio de prensagem é uma aplicação direta do limite de resistência de conformação mecânica de um material, e saber esse limite e essencial para obter um resultado final assertivo. A prensa é uma "máquina-ferramenta" que possui uma capacidade de fornecimento de força e energia para prover uma conformação plástica à uma chapa de modo a se obter uma peça com determinadas forma e dimensão.

Segundo (Chiaverini, 1986) a equação 01 determina o esforço para o corte:

$$Q = p. e. \sigma_C \tag{1}$$

Onde:

Q = esforço de corte ou de cisalhamento (kgf)

p = perímetro da figura (mm)

e = espessura da chapa (mm)

 $\sigma_c$  = resistência a cisalhamento do material (kgf/mm<sup>2</sup>)

$$\sigma_c = \frac{3}{4} \ a \ \frac{4}{5} \sigma_t$$

 $\sigma_t$  = resistência a tração do material (kgf/mm²)

O perímetro da área de corte será retirado do software Solidworks. Já o perímetro dos furos redondos de fixação é dado pela equação 2:

$$P = 2. \pi. r \tag{2}$$

Onde:

P = Perímetro (mm)

R = Raio (mm)

 $\pi$  = constante de valor 3,14

Conforme Fialho apresenta, a pressão de trabalho será definida com a equação 3:

$$P = F/A \tag{3}$$

Onde:

P = Pressão (bar)

F = Força (Tonelada)

 $A = \text{Área (cm}^2)$ 

Existe uma classificação do sistema de acordo com a pressão, onde pode-se classificar em cinco tipos de classes, sendo elas: sistema de baixa pressão, media pressão, media-alta pressão, alta pressão, extra alta pressão, de acordo com a National Fluid Power Association (NFPA), como podemos ver na tabela:

**Tabela 1:** Classificação de acordo com pressão

	Pressão	- Classificação	
bar	psi	Ciassificação	
0 a 14	0 a 203,10	Sistemas de baixa pressão	
14 a 35	203,10 a 507,76	Sistemas de média pressão	
35 a 84	507,76 a 1218,68	Sistemas de média-alta pressão	
84 a 210	1218,68 a 3046,62	Sistemas alta pressão	
Acima de 210	Acima de 3046,62	Sistemas de extra-alta pressão	

(Fonte: Automação Hidráulica, Fialho, 2013)

Fialho diz que vazão da bomba pode ser encontrada através da equação 4:

$$Q = V. A \tag{4}$$

Onde:

Q = Vazão (L/min)

V = Velocidade (cm/s)

 $A = \text{Área (cm}^2)$ 

Também pode ser verificado pela equação 5:

$$Q = \frac{Vg \cdot n \cdot \eta}{1000} \tag{5}$$

Onde:

Q = Vazão (L/min)

Vg = Deslocamento (cm<sup>3</sup>/rev)

n = Rotação do motor (rpm)

 $\eta$  = Rendimento volumétrico (0,9 à 0,95)

A velocidade de avanço dá-se pela equação 6, como mostra na literatura de Fialho:

$$Va = \frac{4 \cdot Q}{\pi \cdot Dc^2} \tag{6}$$

Onde:

Va = Velocidade de avanço (cm/s)

Q = Vazão (cm<sup>3</sup>/s)

Dc = Diâmetro Cilindro (cm)

O tempo de atuação de avanço do ciclo, Fialho afirma que pode ser definido com a equação 7:

$$Ta = \frac{L}{Va} \tag{7}$$

Onde:

Ta = Tempo avanço (s)

L = Curso cilindro (cm)

Va = Velocidade avanço (cm/s)

A potência do motor elétrico é definida com a equação 8:

$$Pot = \frac{P \cdot Q}{600 \cdot \eta} \tag{8}$$

Onde:

Pot = potencia (Kw)

 $P = Pressão (Kgf/cm^2)$ 

Q = Vazão (L/min)

 $\eta = \text{Rendimento} (0.8 \text{ a } 0.85)$ 

As vazões induzidas de avanço e retorno serão definas a partir das equações 9 e 10:

$$Qia = \frac{Q \cdot (Dc^2 - Dh^2)}{Dc^2} \tag{9}$$

$$Qir = \frac{Q \cdot Dc^2}{Dc^2 - Dh^2} \tag{10}$$

Onde:

Qia = Vazão Induzida de avanço (L/min)

Qir = Vazão Induzida de retorno (L/min)

Q = Vazão da bomba (cm<sup>3</sup>/s)

Dc = Diâmetro cilindro (cm)

Dh = Diâmetro haste (cm)

Os elementos de ligação entre componentes de um sistema são dimensionados através de velocidades limites para a condução da vazão desejada, de forma a manter escoamento laminar, o que provoca perdas de carga inexpressivas para trechos com comprimentos limitados. As velocidades máximas recomendas são obtidas na tabela a seguir:

**Tabela 2:** Velocidades máximas recomendadas

		Pressão (bar)			
Tubulação	20	50	100	>200	
Tubulação de Pressão	300	400	500	600	Velocidade (cm/s)
Tubulação de Retorno	300			(cm/s)	
Tubulação de Sucção	100		2917/105/0		

(Fonte: Fialho 2013)

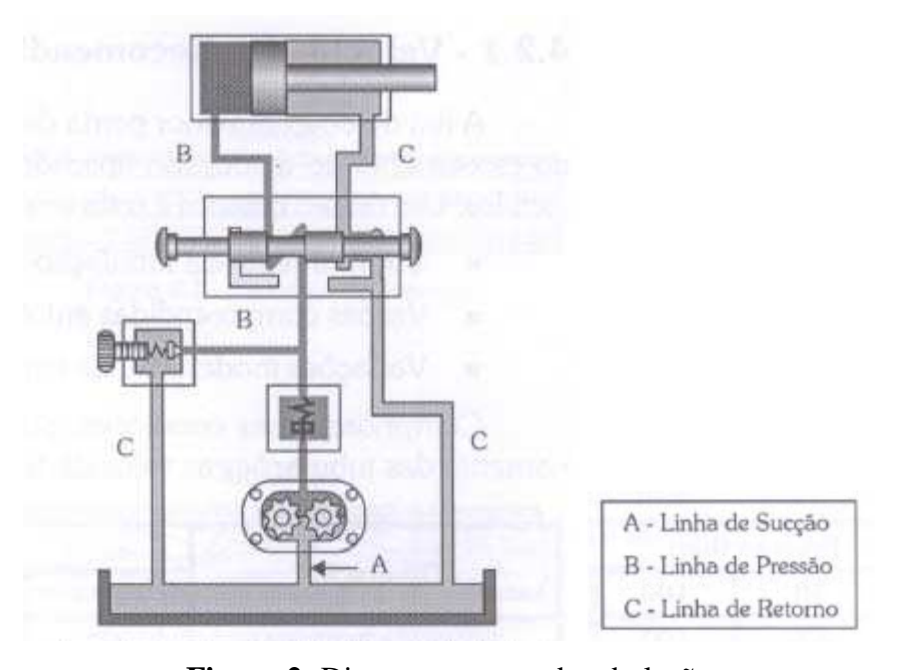


Figura 2: Diagrama pontos da tubulação

(Fonte: Fialho 2013)

Conhecendo as velocidades máximas recomendadas, é possível determinar os diâmetros mínimos para cada segmento das tubulações, Fialho apresenta a equação 11:

$$D^2 = \frac{4 \cdot Q}{\pi \cdot V} \tag{11}$$

Onde:

D = Diâmetro Tubo (cm)

Q = Vazão Bomba (cm<sup>3</sup>/s)

V = Velocidade recomendada (cm/s)

Como regra geral o reservatório deve conter de duas a três vezes a vazão da bomba, ou seja, deve garantir o fornecimento de óleo para a bomba por mais dois a três minutos,

mesmo que ocorra o rompimento da tubulação de saída. Os reservatórios podem ser abertos quando a pressão no interior do mesmo for igual a pressão atmosférica. Quando a pressão no interior do mesmo for maior que a pressão atmosférica, deverá ser pressurizado. (SENAI, 2004).

$$Vol = 3.Qb \tag{12}$$

Onde:

Vol = Volume reservatório (L)

Qb = Vazão bomba (L/min)

O tempo de atuação de retorno do ciclo, Fialho afirma que pode ser definido com a equação 13:

$$Tr = \frac{L}{Vr} \tag{13}$$

Onde:

Tr = Tempo de retorno (s)

L = Curso Cilindro (cm)

Vr = Velocidade de retorno (cm/s)

Para encontrar a velocidade de retorno, utiliza-se a equação 14:

$$Vr = \frac{4.Q}{\pi (Dc^2 - Dh^2)}$$
 (14)

Onde:

Vr = Velocidade de retorno (cm/s)

Q = Vazão da bomba (cm<sup>3</sup>/s)

Dc = Diâmetro do cilindro (cm)

Dh = Diâmetro da haste (cm)

#### 3. METODOLOGIA

O presente trabalho foi realizado numa empresa que está localizada no oeste do Paraná na cidade de Cascavel. Para tal, foi projetado uma prensa hidráulica, onde o objetivo era a otimização do tempo e custo operacional.

#### 3.1 MÉTODOS

Teve como o início a obtenção de dados na empresa em que o equipamento foi instalado. Os dados coletados foram: espessura da chapa da telha do silo, dimensões gerais da telha do silo, desenho dos furos que devem ser estampados, dimensões dos furos para que possa ser calculado seus perímetros.

Após a coleta de dados, foi realizado pesquisas sobre sistemas hidráulicos nas principais literaturas e catálogos dos principais fornecedores do mercado. Logo após, realizou-se os cálculos para obtenção da força necessária do sistema e seleção dos principais componentes do sistema. O comando elétrico/eletrônico, estrutura, sensores, acionamento do motor e fim de curso ou parada do equipamento não foram consideradas nesse trabalho.

Com os valores das contas realizadas, podemos determinar os diâmetros dos componentes hidráulicos tais como: pistão e tubulações. Com os cálculos também será possível determinar componentes, bomba hidráulica, reservatório, potência do motor elétrico.

Definido os componentes, com o auxílio do software FluidSim, um desenho de todo o sistema hidráulico poderá ser feito e será realizado simulações para verificação do funcionamento do mesmo.

#### 3.2 MATERIAIS

Através de livros, apostilas, levantamento e extração dos dados na empresa. Catálogos e manuais dos fabricantes, foi selecionado as principais peças do sistema hidráulico: Bomba de engrenagens, motor elétrico, manômetro, reservatório do fluído, atuador dupla ação, fluído óleo-hidráulico. Utilizou-se softwares para auxiliar, tais como FluidSim para simulação do sistema e SolidWorks para visualização e avaliação dos projetos.

26

#### 4. RESULTADO E DISCUSSÃO

Com uma verificação no projeto da telha do silo, concluiu-se que a prensa necessitaria fazer uma conformação e cisalhamento na chapa, pois além de fazer uma aba, é necessário cortar a chapa. Observou-se também que as telhas possuem as mesmas espessuras independente do modelo do silo, sendo ela uma espessura de 0,80mm conforme anexo A.

A seguir apresenta-se os parâmetros solicitados pela empresa:

Pressão máxima de serviço: 150 bar;

Velocidade de avanço entre: 4 a 6 cm/s;

Comprimento da haste entre: 150 a 200 milímetros.

### 4.1 CÁLCULO DO PERIMETRO E FORÇA PARA CORTE

De acordo com anexo B, é possível verificar que a telha possui 16 furos de fixação e um corte central onde o ar quente passa. Também é possível ver o perímetro do corte central aproximadamente 1213mm, ficando apenas necessário calcular o perímetro dos furos de fixação de diâmetro 9mm.

$$P = 2. \pi. r$$
 (2)

Perímetro dos furos de fixação = 16. (2.  $\pi$ . 4,5mm) = 452mm

Perímetro do corte central = 1213mm

Perímetro total de corte = 1213 + 452 = 1665mm

Aplicando a equação 1 e o perímetro calculado, encontra-se a força necessária que a prensa devera exercer, para tensão de cisalhamento usou-se 23,70 Kgf/mm², (BOBINA 0.80 X 1200 (N°22) ZC AZM150 GALVALUME) conforme anexo J:

 $310Mpa = 31,6112 \text{ Kgf/mm}^2$ 

 $31,6112.\ 3/4 = 23,70\ \text{Kgf/mm}^2$ 

$$Q = p. e. \sigma_C \tag{1}$$

Q = 1665mm. 0,8mm. 23,70 kgf/mm<sup>2</sup>

Q = 31568 Kgf ou 31568 toneladas

# 4.2 CÁLCULO DA PRESSÃO DE SERVIÇO E DIÂMETRO DO CILINDRO

A pressão do sistema não deverá ultrapassar 150bar ou 150Kgf/cm², exigência da empresa solicitante da prensa, logo:

$$P = F/A \tag{3}$$

$$150 Kgf/cm^2 = \frac{31568 \, Kgf}{A}$$

 $A = 210,4cm^2$ 

$$210,4cm^2 = \frac{D^2.\pi}{4}$$

$$D = 16,37cm$$

O diâmetro padrão que existe no mercado é de 20cm, conforme anexo F. Com o diâmetro definido como padrão de mercado, recalcular a pressão do sistema:

$$P = \frac{31568 \, Kgf}{\pi \cdot \frac{20^2}{4} \, cm^2} \tag{3}$$

 $P = 100,50 \text{ Kgf/cm}^2 \text{ ou } 100,50 \text{bar}$ 

Portanto com o diâmetro comercial selecionado, observou-se que o valor real da pressão do sistema será de 100,50bar que está dentro do limite de pressão de 150bar imposto pela empresa solicitante.

#### 4.3 CÁLCULO DA VAZÃO DA BOMBA

A velocidade (V) do atuador foi solicitada pela empresa, onde o valor deve ficar entre 4 e 6 cm/s, sendo assim aplicamos na equação 4:

Q = V. A (4)  

$$Q = 5 \frac{cm}{s} \cdot \left(\pi \cdot \frac{20^2}{4}\right) cm^2$$

$$Q = 1570,80 \text{ cm}^3/\text{s}$$

Convertendo o valor para L/min:

$$Q = 1570,80 \frac{cm^3}{s} \cdot \left(\frac{1L}{1000cm^3}\right) \cdot \frac{60s}{1m}$$

$$Q = 94,25 \text{ L/min}$$

#### 4.4 CÁLCULO DA POTÊNCIA DO MOTOR

Para calcular a potência do motor usamos o valor da pressão calculado no item 4.2 e a vazão calculada no item 4.3, agora com os valores aplicamos na equação 8:

$$Pot = \frac{100,50.94,25}{600.0,8} \tag{8}$$

Pot = 19,70 Kw ou 26,82cv

Potência comercial encontrada para o motor é 30cv. Então o modelo selecionado é Weg 3F IP55AR 30cv 4 Polos 60 Hertz 220/380 volts carcaça C180M, como mostra no anexo C.

# 4.5 SELEÇÃO BOMBA

A bomba deverá atender as seguintes especificações, uma vazão de 94,25 L/min e uma pressão de 100,50 bar. O catalogo do fornecedor mostra o modelo de bomba VISTAHYDRAULICS ISO 3061, conforme anexo E. Para ter certeza que ela atenderá, será necessário a verificação da vazão, já que a pressão que ela suportada é de até 225bar. Para a rotação do motor, foi considerado um modelo de 4 polos, 60 hertz e 30cv, como podemos ver no anexo C.

$$Qb = \frac{61,95.\ 1770.0,9}{1000} \tag{5}$$

Qb = 98,68 L/min

A bomba escolhida atende a necessidade da prensa, pois trabalha numa pressão máxima de 225bar e vazão de 98,68 L/min.

# 4.6 CÁLCULO DA VELOCIDADE DE AVANÇO

Para o cálculo de velocidade de avanço, será necessário converter a vazão da bomba de L/min em cm³/s, logo:

$$\frac{98,68}{60}.1000$$

$$Q = 1644,67 \text{ cm}^3/\text{s}$$

Agora aplicar na equação 6:

$$Va = \frac{4.1644,67cm^3/s}{\pi \cdot 20^2 cm^2} \tag{6}$$

Va = 5.23 cm/s

O valor encontrado está dentro da faixa solicitada pela empresa (de 4 a 6 cm/s), onde questões de segurança e produtividade foram levadas em consideração para esse valor.

#### 4.7 CÁLCULO DO RESERVATÓRIO DE ÓLEO

O recomendado para o reservatório é que ele deve conter de 2 a 3 vezes a capacidade de vazão da bomba, para o cálculo foi considerado 3 vezes. Aplicando na equação 12:

$$Vol = 3.98,68L/min$$
 (12)

Vol = 296,04 Litros

O reservatório deverá ter no mínimo uma capacidade de 296 litros. De acordo com catalogo Parker (anexo D), o reservatório com tamanho comercial que atende a solicitação tem a capacidade de 300 litros.

#### 4.8 CÁLCULO DO TEMPO DE CICLO

Para o cálculo do tempo de ciclo será necessário o valor do comprimento da haste, que foi solicitado que ficasse numa faixa de 150 a 200mm e o valor da velocidade de avanço,

que encontramos no item 4.6 (5,23 cm/s). O comprimento da haste para o cálculo foi considerado 200mm para que fique um valor mais conservativo. Aplicando na formula:

$$Ta = \frac{20cm}{5,23cm/s} \tag{7}$$

$$Ta = 3.82s$$

A velocidade de retorno é definida pela equação 14, deve-se usar a vazão da bomba de 1644,67 cm<sup>3</sup>/s (item 4.6), diâmetro do cilindro de 20 cm e diâmetro da haste de 5,6 cm, conforme anexo G.

$$Vr = \frac{4.\ 1644,67cm^3/s}{\pi(20^2cm - 5,6^2cm)}$$
(14)

$$Vr = 5,68 \text{ cm/s}$$

Tempo de retorno é definido pela equação 13:

$$Tr = \frac{20cm}{5,68cm/s} \tag{13}$$

$$Tr = 3,52s$$

Todo o ciclo do pistão, ou seja, descida e subida, será a soma do tempo de avanço e tempo de retorno, 7,34s para ocorrer.

# 4.9 CÁLCULO DA VAZÃO INDUZIDA DE AVANÇO E RETORNO

Para o cálculo das vazões induzidas de avanço e retorno, precisamos dos valores da vazão real da bomba 1644,67 cm³/s calculado no item 4.5, do diâmetro do cilindro definido no item 4.2 de 20cm e do diâmetro da haste, que será retirado do anexo G.

Olhando o anexo G, podemos ver que o ponto ficou entre os valores de 45 e 56mm, para o cálculo vamos utilizar o maior valor, ou seja, diâmetro da haste de 56mm.

$$Qia = \frac{1644,67 \cdot (20^2 - 5,6^2)}{20^2} \tag{9}$$

 $Qia = 1515,72 \text{ cm}^3/\text{s ou } 90,94 \text{ L/min}$ 

$$Qir = \frac{1644,67 \cdot 20^2}{20^2 - 5,6^2} \tag{10}$$

 $Qir = 1784,58 \text{ cm}^3/\text{s ou } 107,07 \text{ L/min}$ 

## 4.10 CÁLCULO DO DIÂMETRO DA TUBULAÇÃO

Os diâmetros das tubulações são separados em 3 categorias, sendo elas, sucção, pressão e retorno para classifica-las ver a figura 2. As velocidades devem ser retiradas da tabela 2 para que o fluxo do óleo se mantenha laminar. A pressão de serviço é de 100,50bar. As velocidades que vamos utilizar da tabela 2 são:

500cm/s para pressão

300cm/s para retorno

100cm/s para sucção

#### Diâmetro tubo pressão:

A vazão para o tubo de pressão utiliza-se o valor encontrado no item 4.9, o valor de Qia = 1515,72cm<sup>3</sup>/s.

$$D^2 = \frac{4.1515,72cm^3/s}{\pi.500cm/s} \tag{11}$$

Diâmetro tubo de pressão = 1,96 cm

Diâmetro tubo de sucção:

A vazão para o tubo de sucção utiliza-se o valor encontrado no item 4.9, o valor de Qia = 1515,72cm<sup>3</sup>/s.

$$D^2 = \frac{4.1515,72cm^3/s}{\pi.100cm/s} \tag{11}$$

Diâmetro tubo de sucção: 4,39cm

32

Diâmetro tubo de retorno:

A vazão para o tubo de retorno utiliza-se o valor encontrado no item 4.9, o valor de  $Qir = 1784,58 \text{ cm}^3/\text{s}.$ 

$$D^2 = \frac{4.1784,58cm^3/s}{\pi.300cm/s} \tag{11}$$

Diâmetro tubo de retorno: 2,75cm

Os diâmetros das tubulações devem ser definidos com o padrão de mercado, logo os valores ficaram conforme anexo H:

Pressão: 1 polegada

Sucção: 2 polegadas

Retorno: 1.1/4 polegada

#### 4.11 MANÔMETRO

Considerando a pressão do sistema de aproximadamente 100bar, para ter uma precisão na leitura, o manômetro selecionado foi o modelo MAN 160 (anexo I).

Diâmetro visor de 69mm;

Com glicerina;

Escala de 0 a 160bar.

#### 4.12 LISTA DE MATERIAL

Após dimensionar e selecionar a peças nos catálogos, foi relacionado (tabela 3) as principais peças que compõe o conjunto hidráulico.

**Tabela 3** – Lista de Material

ITEM	QUANT		DESCRIÇÃO	POSSÍVEL
				FORNECEDOR
1	1	PÇ	MOTOR 30CV 60HZ 4P220/380V	WEG
2	1	PÇ	BOMBA ISO 3061	VISTA
				HYDRAULICS
3	1	PÇ	RESERVATORIO 300 LITROS	PARKER
4	-	M	TUBO 1"	-
5	-	M	TUBO 2"	-
6	-	M	TUBO 1.1/4"	-
7	1	PÇ	MANOMETRO VERT MAN 160	GEPEF
8	1	PÇ	ATUADOR HIDRAULICO 200 HMI	PARKER
9	300	L	FLUIDO HIDRAULICO	DULUB

(Fonte: Próprio Autor, 2018)

# 4.13 ESQUEMA HIDRÁULICO

Utilizando-se o software Fluidsim, foi elaborado um esquema hidráulico básico, onde não foi considerado os acessórios do sistema, apenas mostrando o: acionamento (bomba, motor elétrico, reservatório), válvula direcional acionada por dois botões e recuo por mola, válvula "E" para que o operador tenha que usar as duas mãos no acionamento da prensa e o atuador de dupla ação. Este esquema serve apenas para simulação do sistema.

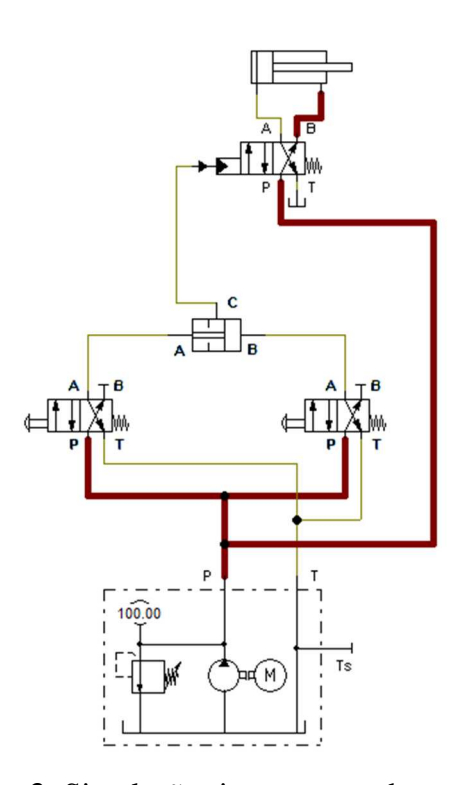


Figura 3: Simulação sistema recuado

(Fonte: Próprio Autor, 2018)

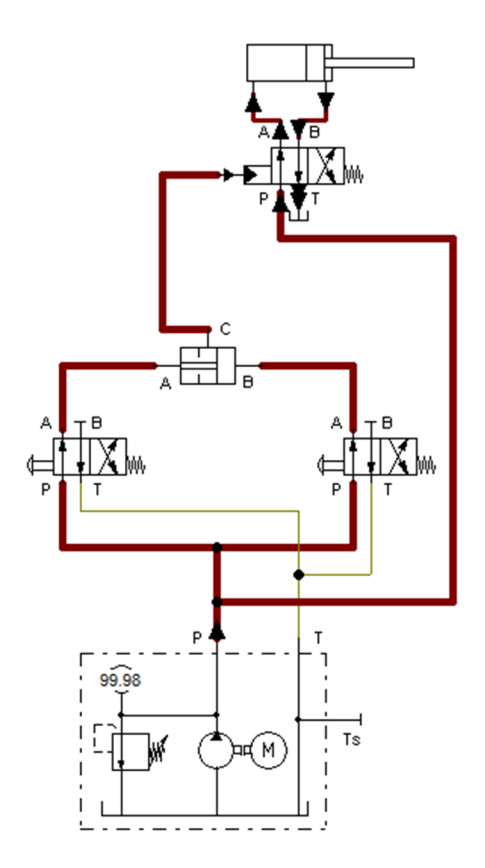


Figura 4: Simulação sistema avançado

(Fonte: Próprio Autor, 2018)

# 5. CONSIDERAÇÕES FINAIS

O propósito deste trabalho foi de apresentar o dimensionamento de um sistema hidráulico com atuador para uma prensa, selecionar as principais peças do conjunto nos catálogos dos fabricantes.

O primeiro passo do trabalho foi coletar os dados com o cliente, posterior a um estudo do sistema hidráulico, com embasamento teórico de livros e apostilas foi possível dimensionar e selecionar as peças nos catálogos.

Como a empresa forneceu todos os dados necessários, não tive grande dificuldade para os cálculos. Alguns catálogos foram difíceis de encontrar, alguns tive que entrar em contato com o fornecedor, mas no fim obtive todos os necessários para o trabalho.

A conclusão que cheguei, foi que, com os resultados obtidos com esse trabalho, é possível aplicar e executar o projeto do sistema hidráulico na prensa. Otimizando o tempo de fabricação, onde antes para cada telha demorava de 1 a 2 dias, com a prensa levara 7,34 segundos. Com a redução do tempo será otimizado os custos e a peça ficara com um ótimo acabamento. Também pode servir como base para trabalhos futuros.

### 6. SUGESTÃO PARA TRABALHOS FUTUROS

A seguir, são apresentadas algumas sugestões para realização de trabalhos futuros, que examinem aspectos não aprofundados neste trabalho:

Dimensionamento e projeto da estrutura para a prensa;

Produção do ferramental corte e dobra para a prensa;

Análise de viabilidade econômica da prensa, buscando analisar a amortização do projeto apresentado.

#### REFERÊNCIAS

CUNHA, Lauro Salles, CRAVENCO, Marcelo Padovani - **Manual Prático do Mecânico**. São Paulo: Ed. Hemus, 2006.

CHIAVERINI, Vicente - **Tecnologia Mecânica** - Vol.2, 2ª. Edição, São Paulo, Ed. Pearson, 1986.

CSN – Companhia Siderúrgica Nacional – 2018 –

http://www.csn.com.br/ - Acesso em: 10 de outubro de 2018.

EAS CHANGES SYSTEMS - Processo de estampagem do metal - 2018 -

https://easchangesystems.com/pt-br/application/estampagem-do-metal/ - Acesso em: 19 maio de 2018.

FERREIRA - Apostila: Noções de Hidráulica, Prof. Dario Magno Batista Ferreira - 2013. http://www.trainee.minasverde.com.br/pdf/Hidraulica.pdf – Acesso em: 20 de outubro de 2018.

FREITAS, Eduardo de. - Indústria Contemporânea no Brasil – 2017 -

https://brasilescola.uol.com.br/brasil/a-industria-contemporanea-no-brasil.htm. - Acesso em: 19 maio de 2018.

FIALHO, Arivelto Fialho. Automação Hidráulica – Projetos, dimensionamentos e analise de Circuitos – 6 Edição. São Paulo, Érica 2013.

GLOBO RURAL - Conab estima safra de grãos 2016/2017 - 2017 -

https://revistagloborural.globo.com/Noticias/Agricultura/noticia/2017/09/conab-estima-safra-de-graos-20162017-em-2387-milhoes-de-toneladas.html - Acesso em: 19 maio de 2018.

GEPEF – Equipamentos Industriais de Precisão – 2018 –

http://www.gepef.com.br - Acesso em: 10 de outubro de 2018.

GUIMARÂES, D.D; PEREIRA, J.P.O. - **PANORAMA SETORIAL 2015-2018 AGROPECUÁRIA** - http://www.pedbrasil.org.br/ped/artigos/2F11DABAD8B76964.pdf
- Biblioteca Digital BNDES, 2014.

HIBBELER, R.C. - **Estática: Mecânica para Engenharia** - 12ª edição. São Paulo: Pearson Prentice Hall, 1999.

KIMINAMI, C. et al. - **Introdução ao Processo de Fabricação**. 1 ed. São Paulo: Editora Blucher, 2013.

MECANICA INDUSTRIAL – Metal Mecânica – 2017 -

https://www.mecanicaindustrial.com.br/metal-mecanica/ - Acesso em: 19 maio de 2018.

PALMIERI, A.C. - **Manual de Hidráulica Básica** - Albarus; São Paulo; Editora Atlas, 2010.

PARKER Hannifin - Cilindros e Atuadores - 2018 -

http://www.parker.com.br – Acesso em: 10 de outubro de 2018.

SENAI, SC - Hidráulica e Técnicas de Comando – Florianópolis: SENAI/SC, 2004.

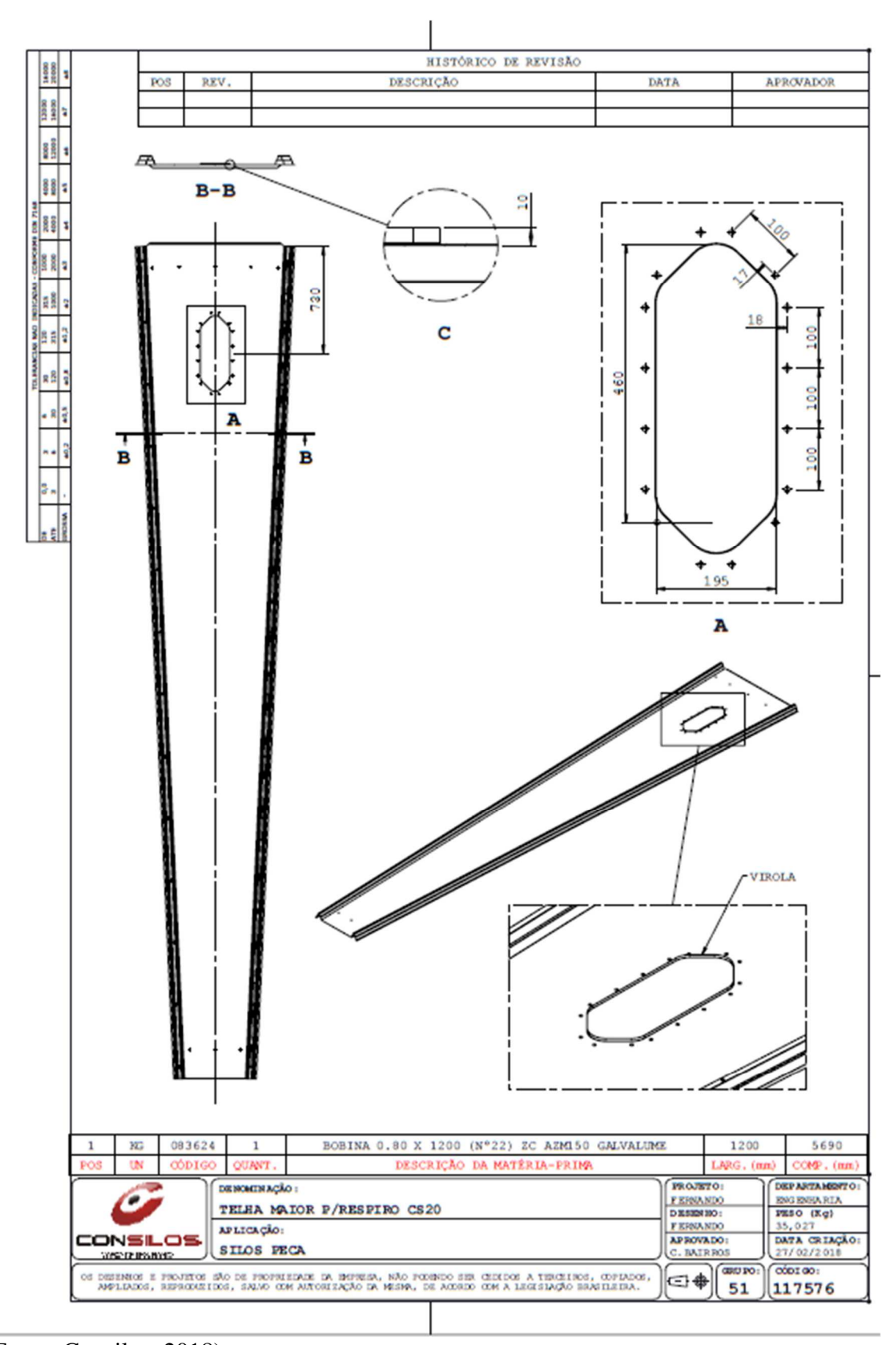
VISTA HYDRAULICS – **Bombas Hidráulicas** – 2018 –

http://www.vistahydraulics.com.br/ - Acesso em: 22 de outubro de 2018

WEG – Motores Elétricos – 2018 –

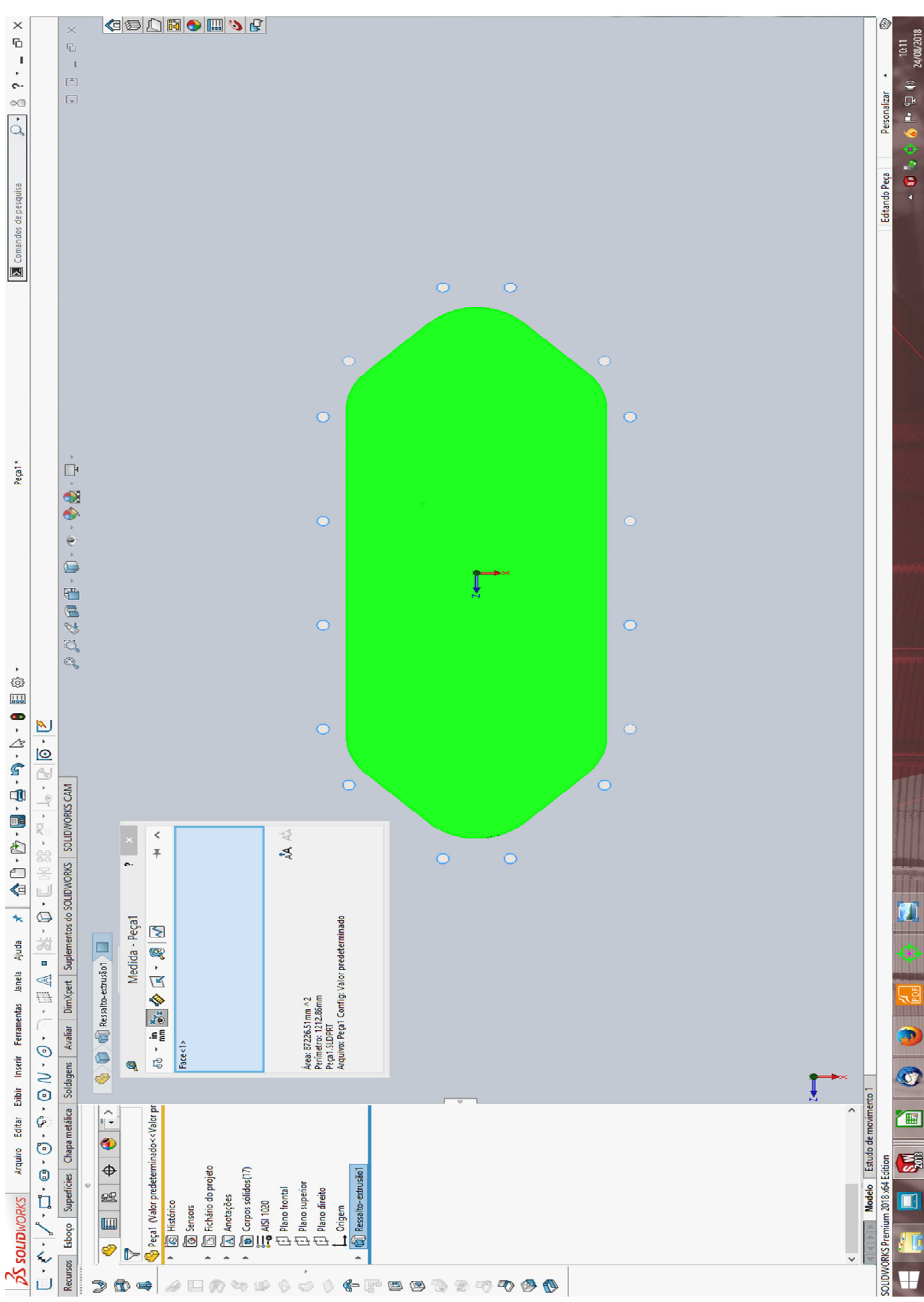
http://weg.net/br - Acesso em: 10 de outubro de 2018.

#### ANEXO A - PROJETO TELHA SILO



(Fonte: Consilos, 2018)

#### ANEXO B – PERÍMETRO E FUROS



(Fonte: Consilos, 2018)

#### ANEXO C - CATALOGO MOTORES WEG



/ww.weg.ne

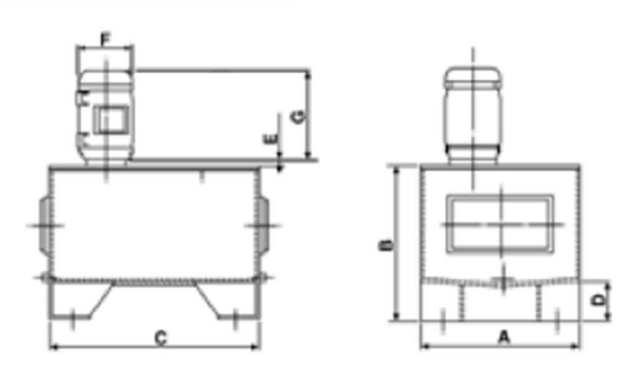
W22 IR3 Premium (1)

2.9 0,0005 3 0,0006 3.2 0,0007 3 0,0008 3.2 0,0008 3.4 0,0007 4.2 0,0119 3.5 0,0058 3.5 0,0058 3.5 0,0058 3.5 0,0058 3.5 0,0058 3.5 0,0058 3.5 0,0058 3.5 0,0058 3.5 0,0058 3.5 0,0058 3.5 0,0119 3 0,01919	bloqueado (8)  62  66  66  114  31  24  33  35  35  37  38  38	R.3 Pressab 8.3 48 8.5 48 8.6 48 112,4 47 115,5 48 119,0 48 23,1 51 26,7 51	125 125 125 125 125 125 125 125 125 125		Rendmento           50         75           58.0         64.0           62.0         67.0           66.0         71.0           75.0         77.5           75.0         77.5           77.0         78.0           82.3         83.0           79.5         82.5           84.0         86.5           84.0         86.5           87.4         88.5           87.7         89.5           88.7         89.5           89.0         90.8           91.6         91.6           90.6         91.5	73.4 773.4 779.0 779.0 779.0 84.0 84.0 86.5 86.5 89.5 89.5 89.5 89.5	Fator de Poténcia     50   75   11     10     10     10	100 100 1 0.70 2 0.69 2 0.66 4 0.80 1 0.80 4 0.81 4 0.80 6 0.78 6 0.88 6 0.88 6 0.88 6 0.78 6	Optional Nominal Nomin
2.8 2.9 0.0005 2.9 3.2 0.0007 3 3 0.0006 3 3.2 0.0007 3.4 3.4 0.0037 4 4 4 0.0036 2.4 3.0 0.018 2.4 3.5 0.018 2.5 3.2 0.018 2.5 3.5 0.055 3.2 3.6 0.055 3.2 3.6 0.055 3.2 3.4 0.1471 3.2 3.4 0.1471 3.2 3.4 0.1471 3.2 3.4 0.1471 3.2 3.4 0.1471 3.2 3.4 0.1471 3.2 2.7 0.3328 2.5 2.7 0.3328 2.6 2.8 0.7346 3.7 2.7 0.3328 2.6 2.8 0.7346 3.7 2.7 0.335 2.6 2.8 3.89	70 66 67 71 72 73 73 74 75 75 75 75 75 75 75 75 75 75 75 75 75		\$21 \$21 \$21 \$21 \$21 \$21 \$21 \$21 \$21 \$21						0,702 0,964 1,30 1,77 2,89 4,30 5,68 8,14 11,3 14,1 16,5 20,4 20,4 31,2
2.8 2.9 0,0005 2.8 3 0,0006 2.8 3.2 0,0006 3 3 3.2 0,0008 3 3 3.2 0,0008 3 4 3.4 0,0037 2.8 3.1 0,0007 4.2 4.2 0,019 2.4 3 0,0180 2.5 3.2 0,0563 2.4 3.5 0,0638 2.5 2.7 0,3728 2.6 2.8 0,7346 2.7 1,87 2.7 1,87 2.7 2.3 3.55 2.8 2.8 3,89 2.9 2.8 3,89 2.9 2.8 3,89 2.9 2.8 3,89 2.9 2.8 3,89 2.9 2.8 3,89 2.9 2.8 3,89 2.9 2.8 3,89 2.9 2.8 3,89	86 88 31 32 33 34 33 34 35 35 37 37 38 38 38 38 38 38 38 38 38 38 38 38 38		\$21 \$21 \$21 \$21 \$21 \$21 \$21 \$21 \$21 \$21						0,702 0,964 1,30 1,77 2,89 4,30 8,14 11,3 11,3 11,3 11,3 16,5 20,4 20,4 20,4
2.8 2.9 0,0005 2.8 3 0,0006 3 3 3 0,0006 3 3 3.2 0,0007 2.8 3.3 0,0008 3 3.4 3.4 0,0007 4.2 4.2 0,0119 2.4 3.5 0,0056 2.5 3.2 0,0160 2.5 3.2 0,0160 2.5 3.2 0,0160 2.5 3.2 0,0160 2.5 3.2 0,0160 2.5 3.2 0,0160 2.5 3.5 0,0160 2.5 3.5 0,0167 3.2 3 0,01619 2.5 3.5 0,0167 3.2 3 0,01619 2.5 2.7 0,3728 2.5 2.7 0,3728 2.6 2.6 3,00 2.7 2.8 2,38 2.6 2.8 0,7346 3.4 3.6 1,01 2.1 2.7 1,87 2.1 2.7 1,87 2.1 2.7 3,85 2.6 2.6 3,00 2.7 2.8 3,89 2.6 2.6 3,00 2.7 2.8 3,89 2.6 2.6 3,00 2.7 2.8 3,89 2.6 2.6 3,00 2.7 2.8 3,89 2.8 2.8 3,89 2.8 2.8 3,89 2.8 2.8 3,89 2.8 2.8 3,89 2.8 2.8 3,89 2.8 2.8 3,89 2.8 2.8 3,89 2.8 2.8 3,89 2.8 2.8 3,89 2.8 2.8 3,89 2.8 2.8 3,89 2.8 2.8 3,89	88 88 84 44 44 44 44 44 44 44 44 44 44 4		\$2 \$2 \$2 \$2 \$2 \$2 \$2 \$2 \$2 \$2 \$2 \$2 \$2 \$						0,702 0,964 1,30 1,77 2,89 4,30 5,68 8,14 11,3 14,1 16,5 20,4 25,4 31,2
2.8 3 0,0006 2.9 3.2 0,0007 3 3 3.2 0,0008 3 3 3.2 0,0008 3.4 3.4 0,0007 4.2 4.2 0,0109 4.2 4.2 0,0109 4.2 4.2 0,0119 2.4 3.5 0,0086 2.5 3.2 0,0086 2.5 3.2 0,0086 2.5 3.2 0,0180 2.5 3.5 0,0683 2.5 3.5 0,0638 2.5 3.5 0,0638 2.5 3.5 0,0638 2.5 3.5 0,0638 2.5 3.5 0,0638 2.5 3.5 0,0638 2.5 3.5 0,0638 2.5 3.5 0,0638 2.6 2.8 0,7346 3.4 3.6 1,01 2.1 2.7 1,87 2.1 2.7 1,87 2.1 2.7 1,87 2.1 2.7 1,87 2.1 2.7 1,87 2.1 2.7 3,85 2.2 2.2 3,89 2.2 2.2 3,89 2.2 2.2 3,89 2.2 2.2 3,89 2.2 2.2 3,89 2.2 2.2 3,89 2.2 2.2 3,89 2.2 2.2 3,89 2.2 2.2 3,89 2.2 2.2 3,89 2.2 2.2 3,89	88 33 24 24 35 34 35 34 35 35 35 35 35 35 35 35 35 35 35 35 35		2 2 2 2 2 2 2 2 2 2 2 2 2 2 2 2 2 2 2 2						0,964 1,30 1,77 2,77 2,89 4,30 8,14 11,3 14,1 16,5 20,4 25,4 31,2
2.8	66 33 24 33 24 33 24 34 25 35 35 35 35 35 35 35 35 35 35 35 35 35		\$2 \$2 \$2 \$2 \$2 \$2 \$2 \$2 \$2 \$2 \$2 \$2 \$2 \$						1,30 1,77 2,77 2,89 4,30 5,68 8,14 11,3 14,1 16,5 20,4 25,4 31,2
2,8 2,9 0,0007 3 3,2 0,0008 3,4 3,4 0,0037 2,8 3,1 0,0037 4 4 4 0,0037 4,2 4,2 0,0119 2,4 3 0,0180 2,5 3,2 0,026 2,3 3,5 0,026 2,3 3,5 0,0672 3,2 3,4 0,1471 2,4 3,5 0,0672 3,2 3,4 0,1471 2,5 3,5 0,0672 3,2 3,4 0,1471 2,1 3,2 3,4 0,1346 3,4 3,6 1,01 2,5 2,7 3 0,6367 2,6 2,6 3,00 2,7 3,5 2,7 3,6 2,8 0,7346 3,4 3,6 1,01 2,1 2,7 1,87 2,6 2,6 3,00 2,7 3,5 2,6 2,6 3,00 2,7 3,5 2,7 3,5 2,8 3,89 2,8 3,89 2,8 2,8 3,89 2,8 2,8 3,89 2,8 2,8 3,89 2,8 2,8 3,89 2,8 2,8 3,89 2,8 2,8 3,89	2 2 2 2 2 2 2 2 2 2 2 2 2 2 2 2 2 2 2		8 8 8 8 8 8 8 8 8 8 8 8 8 8 8 8 8 8 8 8						1,77 2,77 2,89 4,30 5,68 8,14 11,3 14,1 16,5 20,4 25,4 31,2
3 3 0,0008 3 4 3,4 0,0037 2,8 3,3 0,0066 2,8 3,1 0,0077 4 4 4 0,0096 4,2 4,2 0,0119 2,4 3 0,0180 2,5 3,2 0,0266 2,3 3,5 0,0653 2,4 3,5 0,0653 2,5 3,5 0,0673 3,2 3,5 0,0673 3,2 3,5 0,0673 3,2 3,5 0,0673 3,2 3,5 0,0673 3,2 3,4 0,1471 3,2 3,4 0,1471 2,5 2,7 0,3726 2,6 2,8 0,7346 3,4 3,6 1,01 2,6 2,8 0,7346 3,4 3,6 1,01 2,1 2,7 1,87 2,4 2,7 2,33 2,6 2,6 3,00 2,7 2,5 3,59 2,6 2,6 3,00 2,7 2,5 3,59 2,6 2,6 3,00 2,7 2,5 3,59 2,6 2,6 3,00 2,7 2,5 3,59 2,8 2,8 3,89 2,8 2,8 3,89 2,8 2,8 3,89 2,8 2,8 3,89 2,8 2,8 3,89 2,8 2,8 3,89 2,8 2,8 3,89 2,8 2,8 3,89 2,8 2,8 3,89 2,8 2,8 2,8 3,89	2 2 2 2 2 2 2 2 2 2 2 2 2 2 2 2 2 2 2 2		\$1 \$2 \$2 \$2 \$2 \$2 \$2 \$2 \$2 \$2 \$2 \$2 \$2 \$2						2,77 2,89 4,30 5,68 8,14 11,3 14,1 16,5 20,4 25,4 31,2
3 3.2 0.0029 3.4 3.4 0.0037 2.8 3.3 0.0066 2.8 3.1 0.0077 4 4 4 0.0096 4.2 4.2 0.019 2.4 3.5 0.0563 2.4 3.5 0.0638 2.5 3.5 0.0638 2.5 3.5 0.0638 2.5 3.5 0.0638 2.5 3.5 0.0638 2.5 3.5 0.0638 2.5 3.5 0.0638 2.5 3.5 0.0638 2.5 3.5 0.0638 2.5 3.5 0.0638 2.5 3.5 0.0638 2.6 2.8 0.7346 3.4 3.6 1.01 2.1 2.7 1.87 2.4 2.7 2.33 2.6 2.6 3.00 2.7 2.3 3 2.6 2.6 3.00 2.7 2.3 3.55 2.8 2.8 3.89 2.9 2.6 3.00 2.7 2.3 3.85 2.8 2.8 3.89 2.9 2.8 3.89 2.9 2.8 3.89 2.9 2.8 3.89 2.9 2.8 3.89 2.9 2.8 3.89 2.9 2.8 3.89 2.9 2.8 3.89 2.9 2.8 3.89 2.9 2.8 3.89 2.9 2.8 3.89 2.9 2.8 3.89 2.9 2.8 3.89	2 2 3 2 2 3 2 3 2 3 2 3 2 3 3 3 3 3 3 3		\$2 \$2 \$2 \$2 \$2 \$2 \$2 \$2 \$2 \$2 \$2 \$2 \$2 \$						2,89 4,30 5,68 8,14 11,3 14,1 16,5 20,4 25,4 31,2
3,4 3,4 0,0037 2,8 3,3 0,0066 4,2 4,2 0,0119 2,4 3 0,0180 2,5 3,2 0,0180 2,5 3,5 0,0180 2,5 3,5 0,0180 2,5 3,5 0,0180 2,5 3,5 0,0180 3,2 3,4 0,1471 3,2 3,4 0,1471 3,2 3,6 0,1919 2,1 2,7 1,87 2,6 2,8 0,7346 3,4 3,6 1,01 2,1 2,7 1,87 2,6 2,8 3,89 2,6 2,6 3,00 2,7 2,8 2,8 2,8 3,89 2,6 2,6 3,00 2,7 2,8 2,8 2,8 3,89 2,6 2,8 3,89 2,6 2,6 3,00 2,7 2,8 2,8 2,8 3,89 2,6 2,6 3,00 2,7 2,8 2,8 2,8 3,89 2,6 2,6 3,00 2,7 2,8 2,8 2,8 3,89 2,6 2,6 3,00 2,7 2,8 2,8 2,8 3,89 2,8 2,8 3,89 2,8 2,8 3,89 2,8 2,8 3,89 2,8 2,8 3,89 2,8 2,8 3,89 2,8 2,8 3,89 2,8 2,8 3,89 2,8 2,8 3,89 2,8 2,8 3,89 2,8 2,8 3,89	2 3 3 3 3 3 3 3 3 4 4 5 5 5 5 5 5 5 5 5 5		888888888						4,30 5,68 8,14 11,3 14,1 16,5 20,4 25,4 31,2
2.8 3.3 0.0066 2.8 3.1 0.0007 4 4 4 0.00096 4.2 4.2 0.0119 2.4 3 0.0180 2.5 3.2 0.0206 2.3 3.5 0.0653 2.4 3.5 0.0672 3.2 3.4 0.1471 3.2 3 0.6367 2.5 2.7 0.3728 2.5 2.7 3 0.6367 2.5 2.7 3 0.6367 2.5 2.7 3 0.6367 2.6 2.8 0.7346 3.4 3.6 1.01 2.1 2.7 1.87 2.4 2.7 2.33 2.6 2.6 3.00 2.7 2.5 3.5 2.8 3.89 2.9 2.8 2.8 3.89 2.9 2.8 2.8 3.89 2.9 2.8 2.8 3.89 2.9 2.8 2.8 3.89 2.9 2.8 2.8 3.89	33 33 34 34 34 34 34 34 34 34 34 34 34 3		22 22 23 24 25 25 25 25 25 25 25 25 25 25 25 25 25						5,68 8,14 11,3 14,1 16,5 20,4 25,4 31,2
2,8 3,1 0,00077 4,4 4 0,0096 2,4 3 0,0119 2,4 3,5 0,0206 2,3 3,5 0,0653 2,4 3,5 0,0672 3,2 3,4 0,1471 3,2 3,4 0,1471 3,2 3,4 0,1471 2,5 2,7 3 0,6367 2,6 2,8 0,7346 3,4 3,6 1,01 2,1 2,7 1,87 2,4 3,5 2,5 2,6 3,00 2,7 3,55 2,6 2,6 3,00 2,7 3,55 2,8 2,8 3,89 2,6 2,6 3,00 2,7 3,55 2,8 2,8 3,89 2,6 2,6 3,00	24 33 33 33 34 35 35 36 37 38 38 38 38 38 38 38 38 38 38 38 38 38		221 222 221 221 221 221 221 221 221 221						8,14 11,3 14,1 16,5 20,4 25,4 31,2
4 4 0,0096 4,2 4,2 0,0119 2,4 3 0,0180 2,5 3,2 0,0206 2,3 3,5 0,0653 2,5 3,5 0,0672 3,2 3,5 0,0672 3,2 3,5 0,0672 3,2 3,5 0,0672 3,2 3,6 0,1471 2,5 2,7 0,3728 2,6 2,8 0,7346 3,4 3,6 1,01 2,1 2,7 1,87 2,4 2,7 2,33 2,6 2,6 3,00 2,7 2,5 3,55 2,8 2,8 3,89 2,6 2,8 3,89 2,6 2,8 3,89 2,6 2,8 3,89 2,7 2,33 2,6 2,6 3,00 2,7 2,33 2,6 2,6 3,00 2,7 2,33 2,6 2,6 3,00 2,7 2,33 2,6 2,6 3,00 2,7 2,33 2,6 2,6 3,00 2,7 2,33 2,6 2,6 3,00 2,7 2,33 2,6 2,6 3,00 2,7 2,33 2,8 2,8 3,89 2,8 2,8 3,89 2,8 2,8 2,8 3,89	33 33 33 33 33 34 35 34 35 36 37 38 38 38 38 38 38 38 38 38 38 38 38 38		125 125 125 125 125 125 125						11,3 14,1 16,5 20,4 25,4 31,2
4,2 4,2 0,0119 2,4 3 0,0180 2,5 3,2 0,0206 2,3 3,5 0,0653 2,4 3,5 0,0673 3,2 3,4 0,1471 3,2 3, 0,1919 2,5 2,7 0,3728 2,6 2,8 0,7346 3,4 3,6 1,01 2,6 2,8 1,01 2,1 2,7 1,87 2,4 2,7 2,33 2,6 2,6 3,00 2,7 2,5 3,59 2,8 2,7 3,59 2,8 2,7 3,59 2,8 2,8 3,89 2,8 2,8 3,89 2,8 2,8 3,89 2,8 2,8 3,89 2,8 2,8 3,89 2,8 2,8 3,89 2,8 2,8 3,89 2,8 2,8 3,89 2,8 2,8 3,89 2,8 2,8 3,89 2,8 2,8 3,89 2,8 2,8 3,89 2,8 2,8 3,89 2,8 2,8 3,89 2,8 2,8 3,89 2,8 2,8 3,89 2,8 2,8 3,89 2,8 2,8 3,89 2,8 2,8 3,89	33 33 22 18	_	125 125 125 125 125 125						14,1 16,5 20,4 25,4 31,2
2.4 3 0.0180 2.5 3.2 0.0265 2.4 3.5 0.0658 2.5 3.5 0.0672 3.2 3.4 0.1471 3.2 3.4 0.1471 3.2 3.4 0.1919 2.5 2.7 0.3728 2.6 2.8 0.7346 3.4 3.6 1.01 2.6 2.8 3.00 2.7 2.33 2.6 2.6 3.00 2.7 2.7 3.85 2.8 2.8 3.89 2.8 2.6 3.00	35 33 22 18		125 125 125 125 125						16,5 20,4 25,4 31,2
2.5 3.2 0.0206 2.3 3.5 0.0638 2.4 3.5 0.0638 2.5 3.4 0.1471 3.2 3.4 0.1471 3.2 3 0.1919 2.5 2.7 0.3728 2.6 2.8 0.7346 3.4 3.6 1.01 2.1 2.7 1.87 2.4 2.7 2.33 2.6 2.6 3.00 2.7 2.5 2.7 2.33 2.6 2.6 3.00 2.7 2.5 2.5 2.5 3.55 2.6 2.6 3.00 2.7 2.5 2.5 2.5 3.55 2.8 2.8 2.8 3.89 2.6 2.6 3.00 2.7 2.8 2.8 2.8 2.8 2.8 2.8 2.8 2.8 2.8 2.8	23 23 18		125 125 125 125						20,4
2,3 3,5 0,0563 2,4 3,5 0,0672 3,2 3,4 0,1471 3,2 3,4 0,1471 2,5 2,7 0,3728 2,7 3 0,6367 2,6 2,8 0,7346 3,4 3,6 1,01 2,1 2,7 1,87 2,6 2,6 3,00 2,7 2,53 2,6 2,6 3,00 2,7 2,53 2,6 2,6 3,00 2,7 2,53 2,6 2,6 3,00 2,7 2,5 2,8 2,8 3,89 2,6 2,6 3,00	23		1,25						31,2
2,4 3,5 0,0638 2,5 3,5 0,0672 3,2 3,4 0,1471 3,2 3 0,1919 2,5 2,7 0,3728 2,7 3 0,6367 2,6 2,8 0,7346 3,4 3,6 1,01 2,1 2,7 1,87 2,4 2,7 2,33 2,6 2,6 3,00 2,7 2,5 3,55 2,8 2,8 3,89 2,6 2,8 3,89 2,6 2,6 3,00 2,7 2,33 2,6 2,6 3,00 2,7 2,33 2,6 2,6 3,00 2,7 2,7 3,55 2,8 2,8 3,89 2,5 2,4 6,30	22		1,25						31,2
2,5 3,5 0,0672 3,2 3,4 0,1471 3,2 3 0,1919 2,5 2,7 0,3728 2,6 2,8 0,7346 3,4 3,6 1,01 2,1 2,7 1,87 2,4 2,7 2,33 2,6 2,6 3,00 2,7 2,5 3,50 2,8 2,8 3,89 2,8 2,8 3,89 2,8 2,8 3,89 2,5 2,4 6,30	18		1,25			92,4		-	27.6
3,2 3,4 0,1471 3,2 3 0,1919 2,5 2,7 0,3728 2,6 2,8 0,7346 3,4 3,6 1,01 2,1 2,7 1,87 2,4 2,7 2,33 2,6 2,6 3,00 2,7 2,5 2,8 2,8 3,89 2,6 2,6 3,00 2,7 2,5 3,89 2,8 2,8 3,89 2,8 2,8 3,89				1/60		92,4	0,63 0,76		0,10
2,5 2,7 0,3728 2,7 3 0,6367 2,6 2,8 0,7346 3,4 3,6 1,01 2,1 2,7 1,87 2,4 2,7 2,33 2,6 2,6 3,00 2,7 2,5 2,8 2,8 3,89 2,8 2,8 3,89 2,5 2,4 6,30		138 64	1,25	17.75 91	91,6 93,2	93,4	0,64 0,75	-	51,4
2.5 2.7 0,3728 2.6 2.8 0,7346 3.4 3.6 1,01 2.1 2.7 1,87 2.4 2.7 2,33 2.6 2.6 3,00 2.7 2.7 3,55 2.8 2.8 3,89 2.5 2.4 6,30	44	178 63	1,25	17.70 93	93.0 93.8	94.0	9,06 0,76	0,81	75,8
2,7 3 0,6367 2,6 2,8 0,7346 3,4 3,6 1,01 2,4 2,7 2,33 2,6 2,6 3,00 2,7 2,7 3,55 2,8 2,8 3,89 2,5 2,4 6,30	44	266 66	1,25	17.75 94	94,0 94,5	94,6	0,70 0,80	0.84	122
2.6 2.8 0,7346 3.4 3.6 1,01 2.4 2.7 2,33 2.6 2.6 3,00 2.7 2.7 3,55 2.8 2.8 3,89 2.5 2.4 6,30	55		1,25	1780 93	93,0 94,7	95,1			146
3.4 3.6 1.01 2.1 2.7 1.87 2.4 2.7 2.33 2.6 2.6 3.00 2.7 2.7 3.55 2.8 2.8 3.89 2.5 2.4 6.30	56	451 67	1,25	1780 94	0,59 85,0	95,4	0,74 0,83	3 0,87	174
2,1 2,7 1,87 2,4 2,7 2,33 2,6 2,6 3,00 2,7 2,7 3,55 2,8 2,8 3,89 2,5 2,4 6,30	26		1,25	1780 94	94,6 95,2	95,5	0,68 0,78		242
2.4 2.7 2.33 2.6 2.6 3.00 2.7 2.7 3.55 2.8 2.8 3.89 2.5 2.4 6.30	S	724 73	1,25	1785 94	94,7 95,3	95,4	0,75 0,83	3 0,86	288
2,6 2,6 3,00 2,7 2,7 3,55 2,8 2,8 3,89 2,5 2,4 6,30	44	803 73	1,25	1785 94	94,8 95,5	92'8	0,75 0,83	3 0,86	350
2,7 2,7 3,55 2,8 2,8 3,89 2,5 2,4 6,30	S	1001	1,25	1790 94	94,5 95,5	96,2	0,74 0,82	2 0,86	418
2,5 2,4 6,30	44	1107 75	1,25	1790 94	94,9 95,9	96,2	0,73 0,82	2 0,86	476
2,4 6,30	44	1152 75	1,25	1790 95	95,3 96,0	86,3	0,75 0,83	3 0,87	580
	48	1438 78	1,15	1790 95	95,6 96,2	96,4	0,77 0,84	4 0,87	688
7,20	44	1624 78	1,15	1790 95	95,8 96,4	96,5	0,78 0,85	5 0,87	812
_	26	1615 78	1,15	1790 95	95,9 96,4	9'96	0,76 0,84	4 0,87	936
2,6 9,51	31	1751 78	1,15	1790 96	_	196	_		1040
2.4 11.1	40		1.15		_		_		1170
7.4 2.4 2.4 11.6 15	15 33	1966 78	1.15				0.74 0.83	3 0.86	1260

(Fonte: WEG, 2018)

#### ANEXO D – RESERVATÓRIOS PARKER

#### Dimensionamento



Reservatório		Di	mensões (n	nm)	
(litros)	Α	В	С	D	E
20	330,0	327,0	430,0	87,5	13,0
60	400,0	410,0	600,0	114,0	13,0
80	410,0	473,0	720,0	114,0	13,0
120	490,0	495,0	870,0	114,0	13,0
180	620,0	500,0	950,0	114,0	-
200	000,0	000,0	1000,0	111,0	
300	680,0	600,0	1100,0	114,0	-
+00	170,0	000,0	1210,0	111,0	
500	800,0	700,0	1300,0	114,0	-

#### Notas:

- 1) As medidas dos reservatórios podem sofrer uma variação de ± 1% nas medidas mencionadas na tabela.
- Os reservatórios de 180 a 500 litros não possuem tampa removível.
   O reservatório de 60 litros possui uma janela de inspeção; os reservatórios de 120 a 500 litros possuem 2 janelas de inspeção.



(Fonte: Parker, 2017)

### ANEXO E – BOMBA HIDRÁULICA VISTA HYDRAULICS

#### **Dados técnicos**

Código * *	ISO-30-17	ISO-30-27	ISO-30-34	ISO-30-43	ISO-30-5	ISO-30-61	50-30-82	ISO-30-100	ISO-30-125
Deslocamento (cm <sup>3</sup> /rev)	17,2	27,3	33,8	43,8	51,73	61,95	82,13	102,5	127,5
Dimensões a (mm)	124,5	129,5	130,5	135,5	135,5	142	145	160	164
Dimensões b (mm)	171,5	177,5	182,5	188,5	193,5	201,5	212,5	225,5	241,5
Entrada (sucção)	G 1/2"	G 1/2"	G3/4"	G 3/4"	G 3/4"	G 1,70%	G 1 1/4"	G 1 1/4"	G11/4"
Saida (pressão)	G 1/2"	G 1/2"	G 3/4"	G 3/4"	G 3/4"	G 1"	G 1 1/4"	G 1 1/4"	G11/4"
Peso (kg)	11 CS COM. CO.	11,5	12	12,5	13	13,5	14,5	14,5	17,5
Pressão máx. continua (bar)	300	290	285	280	230	225	200	200	170
Pressão máx. intermitente (bar) (20s máx.)	310	300	295	290	260	240	210	210	190
Pressão de pico (6s máx.)	320	310	305	300	280	260	220	220	200
Rotação máxima contínua	2600	2600	2300	2100	2100	2000	1700	1700	1600
Rotação máxima intermitente	3000	3000	2900	2600	2600	2100	1900	1900	1900
Rotação mínima	300	300	300	300	300	300	300	300	300

Hydraulis which the state of th

## Sentido de rotação

(Fonte: Vista Hydraulics, 2018)

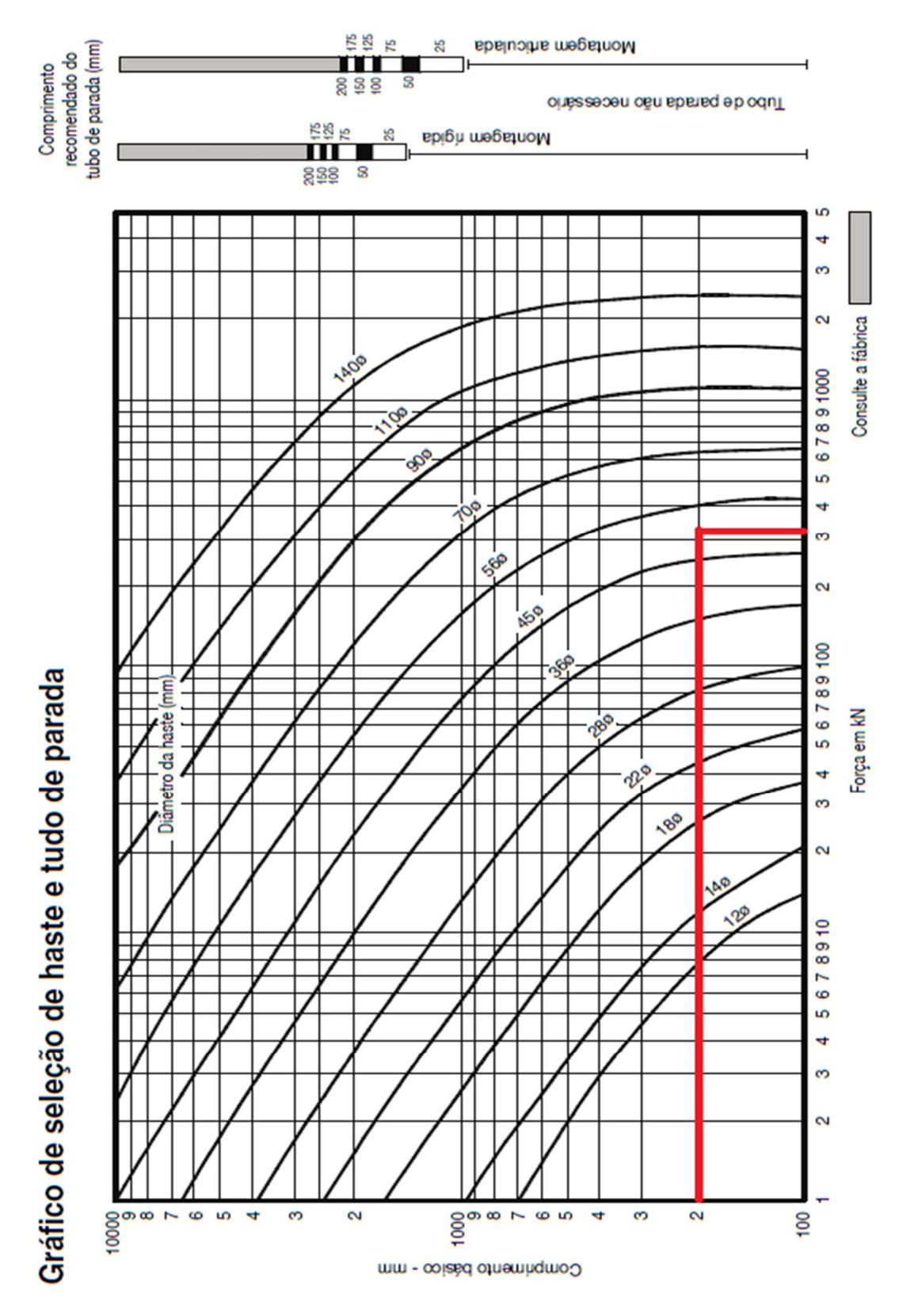
# ANEXO F – DIÂMETRO ATUADOR

### Força de avanço

Diâmetro	Área do		Força	de avar	iço do	cilindro	em kN	
do cilindro	diâmetro	10	40	63	100	125	160	210
mm	mm <sup>2</sup>	bar	bar	bar	bar	bar	bar	bar
25	491	0,5	2,0	3,1	4,9	6,1	7,9	10,3
32	804	0,8	3,2	5,1	8,0	10,1	12,9	16,9
40	1257	1,3	5,0	7,9	12,6	15,7	20,1	26,4
50	1964	2,0	7,9	12,4	19,6	24,6	31,4	41,2
63	3118	3,1	12,5	19,6	31,2	39,0	49,9	65,5
80	5027	5,0	10,1	31,7	50,3	62,8	80,4	105,6
100	7855	7,9	31,4	49,5	78,6	98,2	125,7	165,0
125	12272	12,3	49,1	77,3	122,7	153,4	196,4	257,7
160	20106	20.1	80.4	126.7	201.1	251,3	321,7	422,2
200	31416	31,4	125,7	197,9	314,2	392,7	502,7	659,7
	·							

(Fonte: Parker, 2017)

### ANEXO G – DIÂMETRO HASTE



(Fonte: Parker, 2017)

# ANEXO H – DIÂMETRO TUBOS

No	rma AS	TM A 120 (Tu	bos de aço s	em costı	ıra para	condução de	fluidos)
	S	chedule 40			S	chedule 80	
Diâr	netro	Espessura	Pressão	Diân	netro	Espessura	Pressão
Nom.	Ext.	de	de Ensaio	Nom.	Ext.	de	de Ensaio
ln	mm	Parede	(bar)	ln.	mm	Parede	(bar)
1/4	13.7	2.24	50	1/4	13.7	3.02	60
3/8	17.8	2.31	50	3/8	17.2	3.20	60
1/2	21.3	2.77	50	1/2	21.3	3.73	60
3/4	26.7	2.87	50	3/4	26.7	3.91	60
1	33.4	3.38	50	1	33.4	4.55	60
1.1/4	42.2	3.56	70	1.1/4	42.2	4.85	105
1.1/2	48.3	3.68	70	1.1/2	48.3	5.08	105
2	60.3	3.91	70	2	60.3	5.54	105
2.1/2	73.0	5.16	70	2.1/2	73.0	7.01	105
3	88.9	5.49	70	3	88.9	7.62	105
3.1/2	101.6	5.74	85	3.1/2	101.6	8.08	120
4	114.3	6.02	85	4	114.6	8.56	120
5	141.3	6.55	85	5	141.3	9.53	120
6	168.3	7.11	85	6	168.3	10.97	120
8	219.1	8.18	85	8	219.1	12.70	120
10	273.0	9.27	85	10	273.0	15.09	-

(Fonte: Fialho, 2013)

## ANEXO I – MANÔMETRO

			nômetro			
ESC	ALA	_	duação d			
		Ext	erna	Int	erna	
Externa		Interv. Num.	Menor Subdiv.	Interv. Num.	Menor Subdiv	Código
BAR	PSI					
0-6	0-85	1	0,1	20	2	MAN 6
0 - 10	0-150	2	0,5	30	5	MAN 10
0 - 16	0-230	2	0,5	50	5	MAN 16
0 - 25	0-350	5	0,5	50	10	MAN 25
0 - 40	0-600	5	1	50	10	MAN 40
0 - 60	0-850	10	2	200	20	MAN 60
0 - 75	0-1100	10	2	200	20	MAN 75
0 - 100	0-1000	10	-	300	- 00	mosts to
0 - 160	0-2300	20	5	250	50	MAN 16
0 200	0.2000	- 50	40	500	400	MAN 20
0 - 250	0-3500	50	10	500	100	MAN 25
0 - 300	0-4000	50	10	500	100	<b>MAN 30</b>
0 - 400	0-6000	100	10	1000	200	MAN 40
0 - 500	0-7500	100	20	2000	200	<b>MAN 50</b>
0 - 600	0-9000	100	20	2000	200	MAN 60
0 - 700	0-10000	100	20	2000	200	<b>MAN 70</b>
			uometro			
ESC	ALA		duação d			
		Ext	ema	Int	and the same of	
	Interna		Menor Subdiv.	Interv. Num.	Menor Subdiv	Código
cm HG	Pol. HG					
-76	-30	-10	-2	-5	-1	VAC 0

(Fonte: Gepef, 2018)

# ANEXO J – TENSÕES DO AÇO

		Composiçã	io Química (9	% máxima)			Propriedades Mecâr	nicas	
Norma Técnica					Limite de	Limite de		Alongamento	
		С	P	S	Escoamento (MPa)	Resistência (MPa)	Espessura (mm)	Base de Medida (mm)	Valor min. (%)
	SS33 (230)	0,20	0,04	0,04	230	310	qualquer	50	20
	SS37 (255)	0,20	0,10	0,04	255	360	qualquer	50	18
	SS40 (275)	0,25	0,10	0,04	270	380	qualquer	50	16
ASTM A792	SS50(340) Class 1	0,25	0,20	0,04	345	450	qualquer	50	12
	SS50(340) Class 2	0,25	0,20	0,04	345	-	qualquer	50	12
	SS50(340) Class 4	0,25	0,20	0,04	345	415	qualquer	50	12
	SS80 (550)	0,2	0,04	0,04	550	570	qualquer	-	-

(Fonte: Companhia Siderúrgica Nacional - Galvalume, 2018)